



## Exchange Rate Modeling and Forecasting (USD/LYD) Using Box-Jenkins (ARIMA) Models for the Period 1980-2024

Dr. Zakaria Mohamed Zakaria Ahmed \*

Faculty of Economics and Political Science, Omdurman Islamic University, Sudan

### نموذج وتنبؤ سعر الصرف (الدولار مقابل الدينار الليبي) باستخدام نماذج بوكس - جنكينز (ARIMA) خلال الفترة 1980-2024

\* د. زكريا محمد زكريا أحمد

كلية الاقتصاد والعلوم السياسية، جامعة أم درمان الإسلامية، السودان

\* Corresponding author: [Zakariamom7577@gmail.com](mailto:Zakariamom7577@gmail.com)

Received: August 26, 2025

Accepted: November 12, 2025

Published: November 25, 2025

#### Abstract:

The exchange rate of the Libyan dinar against the US dollar has witnessed significant fluctuations and a substantial increase in recent years due to economic, political, and security factors. This has had a direct impact on the macroeconomy and the prices of goods and services. This study aimed to model and predict the exchange rate (US dollar vs. Libyan dinar) from 1980 to 2024 using ARIMA (Box-Jenkins) time series models. The main problem addressed is the scarcity of precise quantitative studies that help understand and forecast the performance of the exchange rate in Libya, especially amid economic and political volatility and Analysis Data by EViews.

The study relied on historical exchange rate data and followed the ARIMA methodology, which includes the stages of identification, estimation, diagnostic checking, and forecasting. Key results revealed that the time series was non-stationary at its original level but became stationary after taking the first difference. Based on the AIC, SC, and SSE criteria, the optimal model selected was ARIMA(2,1,1).

The study also uncovered a long-term upward trend in the exchange rate, reflecting inflationary pressures and a weakness in the value of the Libyan dinar. It further indicated the presence of heteroscedasticity (ARCH effect), necessitating the use of more advanced models such as GARCH in future studies. The exchange rate was forecasted until 2030, with an expected rate of approximately **6.74 LYD per USD**.

Key recommendations include: continuous monitoring of the exchange market, addressing the structural causes of the dinar's weakness, employing GARCH models to improve forecast accuracy, and diversifying the economy to reduce dependence on foreign currencies.

**Keywords:** Exchange rate, US dollar, Libyan dinar, ARIMA models, Time series, Economic forecasting.

#### الملخص:

شهد سعر الصرف للدينار الليبي مقابل الدولار الأمريكي العديد من التغيرات والصعود بصورة كبيرة في السنوات الأخيرة وذلك قد يكون لعوامل اقتصادية وسياسية وأمنية مما جعل ذلك ذو تأثير مباشر على الاقتصاد الكلي واسعار السلع والخدمات

وقد هدفت هذه الدراسة إلى نمذجة وتنبؤ سعر الصرف (الدولار الأمريكي مقابل الدينار الليبي) خلال الفترة من 1980 إلى 2024 باستخدام نماذج سلاسل زمنية من نوع ARIMA نماذج بوكس-جنكيرز، وتمثلت المشكلة الرئيسية في ندرة الدراسات الكمية الدقيقة التي تساعد في فهم وتوقع أداء سعر الصرف في ليبيا، خاصة في ظل التقلبات الاقتصادية والسياسية وقد تم تحليل البيانات عن طريق برنامج EViews.

الدراسة اعتماد على بيانات تاريخية لسعر الصرف، واتبعت منهجية ARIMA التي تشمل مراحل: التشخيص، والتقدير، والاختبار، والتنبؤ. وقد أظهرت اهم النتائج أن السلسلة الزمنية غير مستقرة في مستوىها الأصلي، ولكنها أصبحت مستقرة بعدأخذ الفرق الأول. بناءً على معايير AIC و SC و SSE ، تم اختيار النموذج الأمثل وهو ARIMA(2,1,1).

وذلك كشفت الدراسة عن اتجاه تصاعدي طويل الأجل لسعر الصرف مما يعكس ضغوطاً تصخمية وضعفاً في قيمة الدينار الليبي وكما أظهرت وجود عدم تجانس في التباين(ARCH effect) ، مما يستدعي استخدام نماذج أكثر تطوراً مثل GARCH في الدراسات المستقبلية. تم التنبؤ بسعر الصرف حتى عام 2030، حيث من المتوقع أن يصل إلى حوالي 6.74 دينار للدولار.

من أهم التوصيات: مراقبة سوق الصرف باستمرار، ومعالجة الأسباب الهيكيلية لضعف الدينار، واستخدام نماذج GARCH لتحسين دقة التنبؤ، وتنوع الاقتصاد لتقليل الاعتماد على العملات الأجنبية.

**الكلمات المفتاحية:** سعر الصرف، الدولار، الدينار الليبي، نموذج ARIMA، السلاسل الزمنية، التنبؤات الاقتصادية.

#### المقدمة :

يمر سعر الصرف (الدينار الليبي مقابل الدولار الأمريكي) بتغيرات كبيرة، وذلك لأسباب قد تكون اقتصادية أو سياسية أو حتى أمنية، وهو ما قد ينعكس بشكل مباشر على الاقتصاد الكلي، وعلى عمليات البيع والشراء، وأسعار مختلف الخدمات الحياتية. إن دراسة سعر الصرف والتنبؤ بنتائجها قد يساعد صانعي القرار والمسؤولين، وكذلك المستثمرين والتجار، في اتخاذ قرارات تخطيطية تستند إلى أصول علمية صحيحة.

ويهدف هذا البحث إلى تطبيق نماذج بوكس-جنكيرز (Box-Jenkins) أو نماذج ARIMA لتحليل السلاسل الزمنية لبيانات سعر الصرف في المؤسسات المالية خلال الفترة من 1980 إلى 2024. وتحتاج نماذج بوكس-جنكيرز من أهم الأساليب الإحصائية الفعالة في التنبؤ بالسلاسل الزمنية، حيث تكشف الأنماط التاريخية لبيانات وتنبيئ إمكانية استخدامها في التنبؤات المستقبلية.

ويُعتبر هذا البحث من الدراسات النادرة التي تناولت سعر الصرف باستخدام منهجيات متقدمة مثل نماذج ARIMA، خاصة في ظل التغيرات التي تشهد لها ليبيا، مثل عدم الاستقرار الأمني والاقتصادي والسياسي، والتي تؤثر بشكل مباشر على أداء السوق المالي. ومن خلال هذه الدراسة، نهدف إلى تقديم رؤى تحليلية تساعد المستثمرين وصناع القرار على فهم التقلبات السوقية واتخاذ قرارات استثمارية أكثر استقرارا.

اعتمدت الدراسة على بيانات تاريخية لأداء سعر الصرف، وسيتم استخدام نماذج ARIMA لتحليل هذه البيانات والوقوف على أفضل النماذج التنبؤية.

ويمكن اعتبار خلاصة هذه الدراسة مخرجات قيمة للمستثمرين والمهتمين بالشأن الاقتصادي في ليبيا، حيث وفرت تنبؤات دقيقة يمكن الاعتماد عليها في التخطيط الاستثماري.

#### مشكلة الدراسة:

يعاني سوق الصرف الليبي من تقلبات حادة وعدم استقرار ملحوظ في قيمة الدينار مقابل الدولار، وهو ما انعكس سلباً على الاقتصاد الكلي من خلال ارتفاع معدلات التضخم وتذبذب الأسعار وضعف القدرة الشرائية. ورغم خطورة هذه الظاهرة وأثرها المباشر على القرارات الاقتصادية والاستثمارية، إلا أن هناك ندرة واضحة في الدراسات الكمية التي تستخدم نماذج إحصائية متقدمة للتنبؤ بسعر الصرف في ليبيا. هذا النقص في الأدوات التحليلية الدقيقة يجعل من الصعب على صناع القرار والمستثمرين وضع استراتيجيات فعالة مبنية على أسس علمية. ومن هنا برزت الحاجة إلى دراسة متخصصة تعتمد على نماذج بوكس - جنكيرز (ARIMA) بهدف تحديد النموذج الأمثل للتنبؤ وتحليل السلوك المستقبلي لسعر الصرف.

## **أهداف الدراسة:**

- يهدف هذا البحث إلى تقييم ودراسة أثر العملات الأجنبية، وخاصة الدولار، على الاقتصاد الليبي ومدى تأثيره على السياسات والاستراتيجيات الاقتصادية.
- تكوين نماذج إحصائية مثل نماذج ARIMA للتنبؤ بسعر الصرف اليومي خلال الفترة من 1980 إلى 2024. - إنشاء قاعدة بيانات ومعلومات عن سعر الصرف الرسمي أو المتداول يومياً من مصادر موثوقة مثل إدارة الرقابة على المصارف والنقد بمصرف ليبيا المركزي، وزارة المالية والاقتصاد، أو موقع تداول مرخصة.
- استخدام النموذج الأمثل للتنبؤ بسعر الصرف خلال فترة زمنية قدرها خمس سنوات، وذلك بغرض التأكيد من دقة النموذج المختار وملاءمته في التنبؤ والتدقيق.

## **أهمية الدراسة: الأهمية الأكاديمية:**

يسد البحث فجوة علمية في مجال دراسات سعر الصرف في ليبيا باستخدام نماذج ARIMA ، إذ تعد من أندر المحاولات التي توظف منهجيات السلسلة الزمنية الحديثة في هذا المجال. يساهم في تطوير المعرفة الاقتصادية والإحصائية عبر إبراز كيفية تطبيق المعايير الكمية للتنبؤات الاقتصادية، مما يفتح المجال أمام دراسات مستقبلية أكثر عمقاً.

## **الأهمية التطبيقية:**

يزود صناع القرار والجهات الحكومية بأداة دقيقة يمكن الاعتماد عليها في رسم السياسات النقدية والمالية. يساعد المستثمرين والتجار على فهم الاتجاهات المستقبلية لسعر الصرف، وبالتالي تحسين قدرتهم على إدارة المخاطر واتخاذ قرارات استثمارية أكثر أماناً ، ويوفر قاعدة بيانات وتحليلات يمكن أن تكون مرجعاً عملياً للمؤسسات المالية في مراقبة أداء العملة وتطوير استراتيجيات أكثر مرونة لمواجهة التقلبات.

## **فروض الدراسة :**

- نماذج بوكس - جنكيرز تعتبر الأفضل من غيرها في دراسة وتحليل سعر الصرف
- توجد علاقة ذات دلالة إحصائية بين البيانات التاريخية لسعر الصرف والقيم التنبؤية التي يوفرها النموذج المختار .
- نموذج (111) ARIMA هو النموذج الأفضل لتنبؤات دقيقة لأداء سعر الصرف.
- النموذج المختار يمكن أن يساعد متذوقي القرارات الاقتصادية والاستثمارية في عملية التخطيط ومعرفة ما يحدث مستقبلاً.

## **مصادر بيانات الدراسة :**

البيانات المالية التاريخية: تشمل أسعار الأسهم، المؤشرات المالية، وحجم التداولات في سوق الأوراق المالية الليبية خلال الفترة من 1980 إلى 2024 والتي تم الحصول عليها من البورصة الليبية والجهات الحكومية المختصة مثل وزارة الاقتصاد أو البنك المركزي الليبي.

## **منهجية الدراسة :**

يستخدم في هذه الدراسة المنهج الوصفي والذي يعمل على وصف الظاهرة عن طريق الإحصاءات الوصفية وكذلك التحليلي عن طريق استخدام السلسلة الزمنية.

## **أداة التحليل:**

السلسلة الزمنية باستخدام منهجية بوكس- جنكيرز.(ARIMA)

## **حدود الدراسة :**

- تشمل الحدود الزمانية الفترة من (1980 إلى 2024)، حيث تم اعتماد قيمة عام 2024 على أساس قيمة تنبؤية مستخلصة من السلسلة الزمنية، وهي قيمة توقعية مبنية على نموذج انحداري. - أما الحدود المكانية فتشمل البورصة الليبية أو البنك المركزي الليبي.

## **الدراسات السابقة :**

- دراسة محمد حماد (2025): دراسة تحليلية عن سعر الصرف وأثره على الاقتصاد السوداني خلال الفترة (1986-2023). هدفت الدراسة إلى قياس أثر سعر الصرف على معامل الاستقرار النقدي في الاقتصاد السوداني، وتوصلت إلى أن سعر الصرف له أثر كبير ومتحكم في جميع الأوراق المالية في السودان.
- دراسة الشهاني (2023): قياس أثر تغير سعر الصرف على الاستقرار النقدي في الاقتصاد الليبي خلال الفترة (1981-2023) باستخدام نموذج ARDL. وقد توصلت الدراسة إلى وجود تكامل مشترك بين المتغيرات، وكذلك وجود أثر إيجابي لسعر الصرف الحقيقي والتضخم على الاستقرار النقدي.
- دراسة إبراهيم النور (2021): أثر تغيرات سعر الصرف على الاستقرار النقدي في مصر خلال الفترة (1970-2020). وتوصلت الدراسة إلى أنه كلما ارتفع سعر الصرف تبعه تدهور في الاستقرار النقدي في الاقتصاد المصري على المدى الطويل والقصير.
- دراسة هويدا الحاكم (2020): تأثير سعر الصرف على معدل التضخم في السودان (2020). هدفت الدراسة إلى معرفة أثر سعر الصرف على معدل التضخم في السودان، وتوصلت إلى أنه كلما ارتفع سعر الصرف ارتفع التضخم، أي أن العلاقة طردية.
- دراسة أحمد الضاوي (2015): أثر تغيرات سعر الصرف على التضخم في تونس خلال الفترة (1991-2011)

## **مقارنة الدراسة والدراسات السابقة :**

كل الدراسات السابقة أشارت إلى أن سعر الصرف يُعد العامل الأهم ويمثل متغيراً أساسياً في الاستقرار النقدي، وقد تختلف النتائج من دراسة إلى أخرى. إلا أن ما يميز دراستنا هو استخدام نماذج بوكس-جنكيز لبناء نموذج للتبؤ والتوقعات المستقبلية، بالإضافة إلى اختلاف الفترات الزمنية المدروسة، وهو ما لم تنترق إليه الدراسات السابقة. وقد أدى ذلك إلى إظهار نتائج أكثر دقة يمكن الاعتماد عليها في اتخاذ القرارات الاقتصادية والاستثمارية المستقبلية.

## **سعر الصرف الليبي**

بعد الاستقلال أصدرت لجنة النقد الليبية أول عملة ليبية موحدة في 24/3/1952، وكانت الوحدة القياسية للعملة جنيه ليبي يساوي جنيه إسترليني، وبعد انضمام ليبيا إلى صندوق النقد الدولي عام 1958 حدّدت ليبيا قيمة عملتها في السنة التالية عند مستوى جنيه ليبي يساوي 2.48828 جرام من الذهب الخالص أو ما يعادل 2.8 دولار أمريكي، واستمر نظام ثبات قيمة العملة الليبية عند هذه القيمة رغم كلما حصل من تطورات مثل فك ارتباطه بالجنيه الإسترليني عام 1967 وتغيير تسميتها من الجنيه إلى الدينار عام 1971 استمر عند نفس القيمة حتى عام 1973 حيث أعيد تثبيت قيمة الدينار الليبي مقابل الدولار الأمريكي بسعر صرف دينار واحد يساوي 3.3778 دولار أمريكي.

اتخذت الدولة الليبية في عام 1986 قرار بفك ارتباط الدينار الليبي بالدولار الأمريكي وتم ربطه بسلة حقوق السحب الخاصة في 28/3/1986 بسعر صرف دينار واحد يساوي 2.80 وحدة حقوق سحب خاصة، وبذلك انخفضت قيمة الدينار الليبي بحوالي 4% مقابل الدولار الأمريكي، وحدد مصرف ليبيا المركزي هامش مسموح به لتغيير سعر صرف الدينار مقابل وحدة حقوق السحب الخاصة في حدود 7.25% بالإضافة.

والنقصان وحددت قيمته عند ادنى مستوى يسمح به الامان المحدد بحيث أصبح سعر صرف الدينار يساوي 2.60465 وحدة حقوق سحب خاصة.

وقام المصرف المركزي في عام 1995 و 1998 بتخفيض القيمة التعادلية للدينار بحيث أصبح الدينار يساوي 1.517 وحدة حقوق سحب خاصة بدل من 2.8 التي كان معمول بها، وكان الهدف من هذا التخفيض تهيئة البيئة لتصحيح أوضاع سعر الصرف، وقد مر الاقتصاد الليبي خلال تلك الفترة بتقلبات كبيرة في سعر الصرف، وكان هناك أربعة أسعار صرف في السوق الليبي، سعر صرف رسمي، وسعر صرف تجاري، وسعر الصرف الخاص المعلن، وسعر الصرف في السوق الموازي، ولمعالجة الوضع طبق المصرف المركزي بداية من عام 1999 ما سمي في ذلك الوقت بسياسة سعر الصرف الخاص، وملخص هذه التجربة الناجحة كان بإقرار سعر صرف خاص معلن قريب من السعر في السوق الموازي، وطبق على بعض التعاملات دون غيرها بهدف سحب السعر في السوق الموازي، واستمر المصرف في عملية التخفيضات خلال الفترة 2002 - 1999 إلى أن وصل إلى السعر المستهدف في الخطة وهو 1.30 دينار لكل دولار ، وقد نجح المركزي في ذلك من أول يوم في التطبيق وكان سعر الصرف في السوق الموازي قريباً جداً من السعر الرسمي ويتبعه في كل تخفيض، وبعد وصول السعر إلى السعر المستهدف تبنت المركزي هذا السعر وبده العمل به اعتباراً من 2002/1/1، وفي 2003.

اتخذ مجلس إدارة المركزي قراراً آخر بتخفيض سعر الصرف الرسمي بواقع 15% بهدف أحتوى ضريبة النهر الصناعي لتصحيح القيمة التعادلية للدينار لتساوي 0.5175 وحدة حقوق سحب خاصة والدولار الواحد يساوي 1.5 دينار تقريباً، ويتحرك هذا السعر ضمن هامش واسع وفقاً للتغيرات في قيم العملات الأجنبية المكونة للسلة التي تعتمد عليها وحدة حقوق السحب الخاصة، واستقر سعر صرف الدينار الليبي عند ذلك المستوى مدعاة بالتحسن في أسعار النفط وزيادة موارد النقد الأجنبي لدى المصرف المركزي على مدار خمسة عشر عاماً، وحتى اندلاع أزمة الهلال النفطي خلال الفترة 2016 - 2013 وما نتج عنها من انخفاض حاد في موارد النقد الأجنبي لدى المصرف المركزي، وبعد الاختلالات التي حصلت في الاقتصاد من اغلاقات وانخفاض حاد في إيرادات النقد الأجنبي والاحتياطيات صدر قرار المجلس الرئاسي رقم 1 لسنة 2018 بفرض رسم على مبيعات النقد الأجنبي بنسبة 183% عدل أحادقاً في أغسطس 2019 إلى 163%， وفي سنة 2020 قرر 0.1555 وحدة حقوق سحب خاصة أي 4.48 دينار لكل دولار وبده العمل به من 3/1/2021.

### السلسل الزمنية :

#### نماذج (بوكس\_جينكينز) (Box\_jenkins models)

تنقسم نماذج (بوكس\_جينكينز) إلى نوعين:

يتمثل النوع الأول بالنماذج غير الموسمية ويقصد بها النماذج التي تعالج السلسل الزمنية غير المحتوية على عنصر الموسم والنوع الثاني يعرف بالنماذج الموسمية وهي التي تعالج السلسل الزمنية المنتظمة لعنصر الموسم ، وهي السلسل التي تعيد نفسها اي تعيد ارتفاعها وانخفاضها بعد كل مدة زمنية ثابتة الطول (5) مثلاً تدعى بالموسم (season) وقد يصعب ملاحظة التذبذبات الموسمية بدقة في السلسل غير المستقرة وذلك بسبب اختلافها مع الاتجاه العام لهذه السلسل ويمكن تقادم هذه المشكلة بتحويل السلسل الزمنية غير المستقرة إلى أخرى مستقرة للتخلص من اثر وجود الاتجاه العام في البيانات ثم يتم تحديد الموسمية عن طريق دراسة دالة الارتباط الذاتي .

- نماذج السلسل الزمنية المستقرة:(stationary time series)

تصلح هذه النماذج لتمثيل السلسل الزمنية بخاصية الاستجرارية اي لا يوجد فيها اتجاه عام في بياناتها ولها وسط حسابي ثابت تذبذب حوله ، وتتضمن هذه النماذج ثلاثة انواع :

- نماذج الانحدار الذاتي (AR)(Auto regressive models)

$$AR(p) \text{ و يقرأ بنموذج } y_t = \delta + \theta_1 y_{t-1} + \theta_2 y_{t-2} + \dots + \theta_p y_{t-p} + \varepsilon_t$$

فمثلا نموذج الانحدار الذاتي من الدرجة الاولى AR(1) هو :

$$y_t = \delta + \theta_1 y_{t-1} + \varepsilon_t$$

وفي البعض الاحيان يمكن ان تمثل الظاهرة بنموذج مختلط من الانحدار الذاتي من الرتبة(p) والاواسط المتحركة من الرتبة(q) لنجصل على نماذج التي الذي يسمى النموذج المختلط والذي يرمز له بالرمز ARMA(p,q) يمكن تمثيله بالنموذج الرياضي الاتي:

$$X_t = \phi_1 X_{t-1} + \phi_2 X_{t-2} + \dots + \phi_p X_{t-p} - \theta_1 \varepsilon_{t-1} - \theta_2 \varepsilon_{t-2} - \dots - \theta_q \varepsilon_{t-q} \quad (1-3)$$

التشویش الابیض (9) White noise

العملية العشوائية (9) (White noise process) تدعى بعملية التشويش الابیض اذا كانت تمثل متتابعة من المتغيرات العشوائية غير المرتبطة مع بعضها البعض Uncorrelated والتي معدلها يساوي صفر وتباينها محدود  $\sigma^2$  أي ان:

$$\begin{aligned} E(\varepsilon_t) &= 0 \\ \text{var}(\varepsilon_t) &= \sigma^2 \varepsilon \\ k \neq 0 \quad \text{cov}(\varepsilon_t + \varepsilon_{t+k}) &= 0 \end{aligned}$$

**نماذج السلسل الزمنية غير المستقرة (Non Stationary time series)**

وتتطبق هذه النماذج لتمثيل السلسلة الزمنية التي يكون الاتجاه العام احد مكوناتها مما يجعل لها عدة اواسط تذبذب حول البيانات وهذه النماذج يمكن تمثيلها بنماذج النوع الاول لكن بعد ازاله عدم الاستجرارية من السلسل الاصلية باستعمال طريقة الفروق (Differences method) ومن خلال اخذ العدد المناسب من الفروق للبيانات الاصلية وفترات زمنية تمثل طول الموسم ويضاف لرمز حرف(d)

وتتضمن هذه النماذج نفس النماذج السلسل الزمنية المستقرة لكن لتميز بين هذا النوع من النماذج الاولى تضاف كلمة (integrated) الى اسم النماذج للدلالة على استعمال نماذج السلسل الزمنية المستقرة على السلسل الزمنية غير المستقرة بعد تحويلها الى السلسل الزمنية ولتمثيل هذا النوع من النماذج يفضل استخدام النموذج المختلط بعد اضافة الحرف الاول من كلمة المذكورة ليصبح الرمز النموذج (ARIMA)

ويصبح النموذج من الدرجة (p,d,q)

ان عملية تحويل السلسل الزمنية غير المستقرة الى اخرى مستقرة سيسجلنا كثيرا من المشاكل اذ ان الخصائص الزمنية المستقرة مستقلة عن الزمن فضلا عن ذلك يكون من السهل تطوير نظرية الاستقرارية لتشمل السلسل الزمنية الاحتمالية اي تكون السلسل الجديدة التي يتم التنبؤ بها المستقرة ايضا اما من الناحية العلمية فالحسابات الخاصة بتقدير معلم النماذج المستقرة تحتاج الى عمل اقل.

**مراحل بناء النماذج (Box\_jenkis):**

تحتاج عملية بناء النماذج للسلسلة الزمنية الى الخبرة وجهد كبيرين خاصة بالنسبة لنماذج (Box\_jenkis) وتعتبر عملية البناء هذه طريقة تكرارية (interactive method) وتأخذ المراحل التالية :  
**(التشخيص) (model identification):**

تعد مرحلة التشخيص النموذج من اهم مراحل في تحليل السلسل الزمنية ويستند تشخيص النموذج على مجموعة البيانات المدروسة وعلى فهم الخصائص الاساسية للسلسل الزمنية خاصة دوال الارتباط الذاتي والارتباط الجزئي وعندما يتم تشخيص نموذج معين فان عملية التنبؤ تكون عملية سهلة ومسألة ميكانيكية

و قبل البدء بالتشخيص و اختيار النموذج الملائم لتمثيل البيانات السلسلة المدروسة يجب اختبارها او لا للتعرف فيما اذا كانت تلك السلسلة مستقرة ام لا لمعالجتها و تتضمن هذه المرحلة :

- الرسم البياني لبيانات السلسلة الزمنية
- اختيار النموذج و تحديد درجة

- دالة الارتباط الذاتي (Autocorrelation Function ACF) ان اي نموذج يصف سلسلة زمنية معينة يمكن ان تحدد ابرز خواصه من خلال دالة ارتباط الذاتي (Autocorrelation function) والتي هي مقياس لدرجة العلاقة بين قيم المتغير نفسه عند فترات زمنية مختلفة اذا يمكن ملاحظة ان هذه الدالة هي مشابهة لدالة الارتباط ولكن الفرق هو ان دالة الارتباط تقيس درجة العلاقة بين متغيرين مختلفين بينما دالة الارتباط الذاتي تقيس العلاقة للمتغير نفسه ولكن في فترات مختلفة ومن هنا يمكن القول بان معامل الارتباط الذاتي (Autocorrelation Coefficient)

مشابه تماماً لمعامل الارتباط correlation Coefficient في كونه يقع بين القيمتين 1 و -1 -فإذا كانت قيمة الارتباط مساوية الى +1 دل ذلك على وجود علاقة طردية تامة بينما اذا كانت مساوية الى -1 دل ذلك على وجود علاقة عكسية تامة بينما اذا كانت قيمة الارتباط مساوية الى صفر فهذا يدل على انعدام العلاقة ويرمز لدالة الارتباط الذاتي عادة بالرمز  $P_k$  حيث ان الارتباط الذاتي  $x_t$  و  $x_{t+k}$  يعطى بالشكل التالي :

$$P_k = \frac{\text{cov}(x_t, x_{t+k})}{\sqrt{\text{var}(x_t)} \sqrt{\text{var}(x_{t+k})}} \dots (1_4)$$

حيث يسمى بسط المعادلة بدالة التباين المشترك الذاتي Auto covariance Function ، والتي هي مقياس التباين بين  $x_t$  و  $x_{t+k}$  حيث ان  $k$  هو ثابت حقيقي ويرمز لهذه الدالة بالرمز  $y_k$  ، فعلى فرض ان  $\text{var}(x_t) = E(x_t - \mu)^2 = \sigma^2$  يمثل المتوسط  $x_t$  وان  $y_k = \text{cov}(x_t, x_{t+k}) = E[(x_t - \mu)(x_{t+k} - \mu)]$

يمثل التباين ل  $x_t$  فإنه يمكن كتابة دالة التباين المشترك الذاتي بالشكل التالي :

$$y_k = \text{cov}(x_t, x_{t+k}) = E[(x_t - \mu)(x_{t+k} - \mu)] \dots (1_5)$$

فإذا كانت قيمة  $k = 0$  فإن دالة التباين المشترك الذاتي تكون بالشكل التالي :

$$y_0 = \text{cov}(x_t, x_t) = \text{var}(x_t) = \text{var}(x_{t+k}) \dots (1_6)$$

وبهذا فإنه يمكن اعادة كتابة المعادلة اعلاه :

$$P_k = \frac{y_k}{y_0} \dots (1_7)$$

وفي التطبيقات العملية يتم استخدام المعادلة التالية لغرض حساب القيم التقديرية ل  $P_k$

$$r_k = \frac{\sum_{t=1}^{n-k} (X_t - \bar{X})(x_{t+k} - \bar{X})}{\sum_{t=1}^n (X_t - \bar{X})^2} \dots (1_8)$$

والذي يرمز لها بالرمز  $r_k$  :

او يمكن الاستفادة من الخاصية التي تفترض بان  $x_{t+k} = x_{t-k}$  ليتسنى لنا اعادة كتابة المعادلة اعلاه :

$$r_k = \frac{\sum_{t=1}^{n-k} (X_t - \bar{X})(x_{t-k} - \bar{X})}{\sum_{t=1}^n (X_t - \bar{X})^2} \dots (1_9)$$

- دالة الارتباط الذاتي الجزئي (partial autocorrelation function) pacf مثلما قلنا يمكن تحديد خصائص السلسلة الزمنية من خلال دالة الارتباط الذاتي acf تسمى بدالة الارتباط الذاتي الجزئي (partial autocorrelation function) (PACF)

ايضا ان تكون ذات فائدة في تحديد خصائص السلسلة الزمنية وهذه الدالة ACF حيث يمكن من خلال هاتين الدالتين تحديد معظم خصائص السلسل الارتباط الذاتي (PACF) هي الدالة التي تقيس درجة الارتباط بين المتغيرين بثبوت المتغيرات الاخرى فإذا اردنا قياس درجة العلاقة بين  $x_t, x_{t+k}$  فان هذا يعني ايجاد الارتباط وبالشكل التالي:

$$\text{corr} \left[ x_t, x_{t+k} / x_{t+1}, x_{t+2}, \dots, x_{t+k-1} \right] \dots (1-10)$$

فإذا رمزنا لهذه الدالة بالرمز  $p_k$  فان :

$$p_k = \frac{\text{cov} \left[ (x_t - \hat{x}_t), (x_{t+k} - \hat{x}_{t+k}) \right]}{\sqrt{\text{var}(x_t - \hat{x}_t)} \sqrt{\text{var}(x_{t+k} - \hat{x}_{t+k})}} \dots (1-11)$$

حيث ان  $\hat{x}_t, \hat{x}_{t+k}$  افضل تقدير خطى ل  $x_t, x_{t+k}$  على توالي وباستخدام دالة الارتباط الذاتي ACF والارتباط الذاتي الجزئي PACF يمكن تحديد درجة النموذج بالنسبة الى نموذج الانحدار الذاتي AR فان قيم دالة الارتباط الذاتي ACF تتضاعل بالتدرج نحو قيمة الصفر بينما تقطع الدالة الارتباط الذاتي الجزئي PACF بعد الدرجة P الذي يمثل درجة نموذج الانحدار الذاتي (p) AR اما نموذج المتوسطات المتحركة MA فان قيم دالة الارتباط الذاتي ACF تقطع بعد الدرجة q والتي تمثل درجة النموذج (q) MA بينما تتضاعل قيم دالة الارتباط الذاتي الجزئي PACF نحو الصفر .اما اذا تضاعلت دالة الارتباط الذاتي ACF والارتباط الذاتي الجزئي PACF كلاهما نحو الصفر فهذا يعني ان النموذج هو نموذج مختلط بين الانحدار الذاتي والاوسع المتحركة (p,q) ARMA

#### (مرحلة التقدير) Estimation stage

بعد ان تم تحديد النموذج المقترن لتمثيل الظاهرة، يأتي الان دور تقدير المعلمات لهذا النموذج حيث توجد هناك عدة طرائق لتقدير المعلمات من هذه الطرائق:

طريقة العزوم او طريقة Yule\_Walker Method  
طريقة المرربعات الصغرى الاعتيادية O.L.S  
طريقة الامكان الاعظم Maximum likelihood method

طريقة العزوم او طريقة Yule\_Walker Method (3)  
استخدم كل من Yule و Walker اسلوب العزوم للتوصىلى تقدير لمعلمات نموذج الانحدار الذاتي من درجة p فسلسلة الزمنية الخاضعة لنموذج الانحدار الذاتي من الدرجة p تم استخدام معادلة معامل الارتباط الذاتي الخاص بالسلسلة الزمنية لتشكيل عدد من المعادلات هي كما موصوفة في ادناه:

والمعادلات اعلاه غالبا ما تدعى في الابحاث العلمية بمعادلات Yule Walker وبعد حل هذه المعادلات يتم التوصل الى متوجه المقدرات التالية والذي يعرف بمقدرات Yule Walker او مقدرا العزوم Moments Estimator

$$\underline{\Phi^p} = p_p - 1 \underline{p_p^2} \dots (1-12)$$

حيث ان :

$$\hat{\Phi} = \begin{bmatrix} \hat{\Phi}_1 \\ \hat{\Phi}_2 \\ \vdots \\ \hat{\Phi}_p \end{bmatrix}, p_i = \begin{bmatrix} 1 & \hat{p}_1 & \hat{p}_2 & \cdots & \hat{p}_{p-1} \\ \hat{p}_1 & 1 & \hat{p}_1 & \cdots & \hat{p}_{p-2} \\ \hat{p}_2 & \hat{p}_1 & 1 & \cdots & \hat{p}_{p-3} \\ \vdots & \vdots & \vdots & \ddots & \vdots \\ \hat{p}_{p-1} & \hat{p}_{p-2} & \cdots & \cdots & 1 \end{bmatrix}, \hat{p}_i = \begin{bmatrix} \hat{p}_1 \\ \hat{p}_2 \\ \vdots \\ \hat{p}_p \end{bmatrix}$$

حيث ان  $p_i$  ( $i = 1, 2, 3, \dots, p$ ) هي غير معلومة تحل محلها تقديراتها  $\hat{p}_i$  في التطبيق العملي.

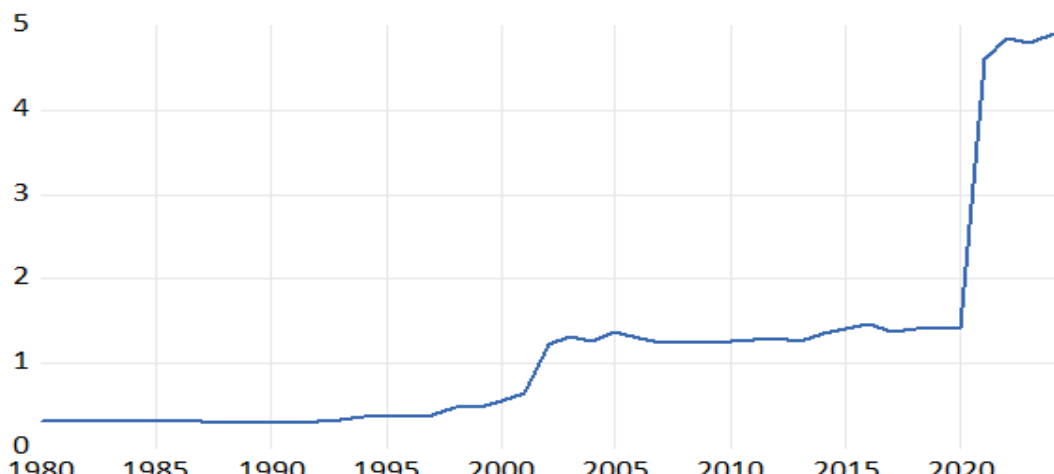
### (مرحلة الاختبار) Diagnostic checking Stage

وهي المرحلة التي يتم فيها اختبار النموذج للتأكد من قدرته على تمثيل بيانات الظاهرة المدروسة، وكذلك إمكانية استخدامه في التنبؤ المستقبلي. وتوجد العديد من الاختبارات التي يمكن استخدامها لهذا الغرض، والتي تعتمد في حساباتها على الأخطاء، بهدف الكشف عما إذا كان هناك أي عامل غير عشوائي ضمن هذه البواقي، حيث نفترض أن تكون هذه البواقي عشوائية وخالية من أي أثر آخر. وفيما يلي شرح لبعض هذه الاختبارات:

#### اختبار مجموع مربعات الأخطاء (MSE):

يقوم هذا الاختبار على تقييم النموذج الذي يكون فيه معدل مجموع مربعات الخطأ أقل ما يمكن. فكلما كانت قيمة الاختبار صغيرة دل ذلك على عشوائية الأخطاء في النموذج المقترن، وعلى أن النموذج ملائم لأغراض التنبؤ. وتتجدر الإشارة إلى أن مرحلة التنبؤ تُعد آخر مراحل تحليل السلسلة الزمنية.

#### تحليل بيانات سلسلة سعر الصرف ومناقشة النتائج :



الشكل (1) يوضح الاتجاه العام لسلسلة سعر الصرف.

يظهر من الشكل (1) أن سعر الصرف يتسم باتجاه تصاعدي على المدى الطويل، أي أن قيمة الدولار مقابل الدينار الليبي آخذة في الارتفاع عبر الزمن، مما يعكس ضغوطاً تصخمية أو ضعفاً في القوة الشرائية للدينار وبالتالي يظهر الشكل عدم استقرار السلسلة الواضح.

## الجدول (1): يوضح الارتباط الذاتي والارتباط الذاتي الجزئي لسلسلة سعر الصرف.

Date: 08/27/25 Time: 19:33

Sample: 1980 2024

Included observations: 45

Autocorrelation	Partial Correlation	AC	PAC	Q-Stat	Prob.
		1	0.811	0.811	31.621 0.000
		2	0.616	-0.122	50.300 0.000
		3	0.420	-0.125	59.174 0.000
		4	0.228	-0.124	61.859 0.000
		5	0.218	0.399	64.372 0.000
		6	0.206	-0.081	66.674 0.000
		7	0.191	-0.081	68.713 0.000
		8	0.175	-0.066	70.455 0.000
		9	0.154	0.232	71.845 0.000
		10	0.134	-0.064	72.934 0.000
		11	0.117	-0.060	73.787 0.000
		12	0.104	-0.036	74.474 0.000
		13	0.088	0.136	74.991 0.000
		14	0.073	-0.055	75.356 0.000
		15	0.061	-0.038	75.619 0.000
		16	0.054	-0.005	75.832 0.000
		17	0.041	0.054	75.960 0.000
		18	0.032	-0.033	76.042 0.000
		19	0.017	-0.052	76.065 0.000
		20	-0.030	-0.122	76.140 0.000

من الجدول (1) في المستوى الأصلي للسلسلة، أظهرت الارتباطات وجود اعتماد زمني قوي بين القيم، مع خروج بعض قيم الإبطاءات عن حدود الضبط، مما يؤكد عدم استقرارية السلسلة.

## جدول (2): يوضح اختبار ديكى - فلر لاختبار استقرارية سلسلة سعر الصرف:

Null Hypothesis: P has a unit root

Exogenous: Constant

Lag Length: 0 (Automatic - based on SIC, maxlag=9)

	t-Statistic	Prob.*
Augmented Dickey-Fuller test statistic	0.465312	0.9835
Test critical values:		
1% level	-3.588509	
5% level	-2.929734	
10% level	-2.603064	

\*MacKinnon (1996) one-sided p-values.

Augmented Dickey-Fuller Test Equation

Dependent Variable: D(P)

Method: Least Squares

Date: 08/27/25 Time: 20:28

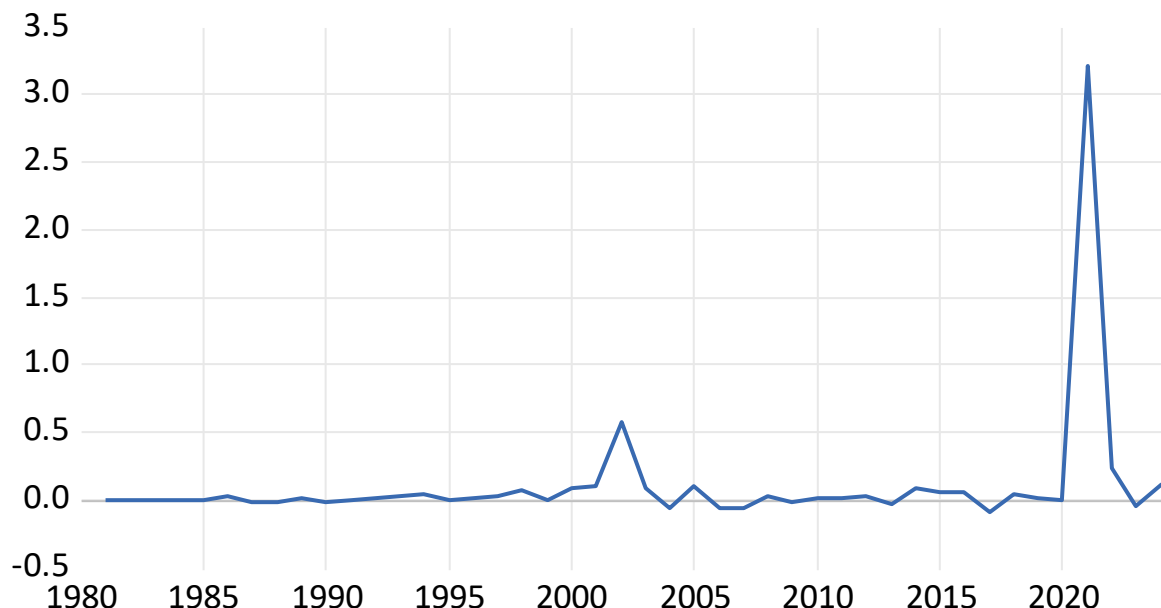
Sample (adjusted): 1981 2024

Included observations: 44 after adjustments

Variable	Coefficient	Std. Error	t-Statistic	Prob.
P(-1)	0.031467	0.067625	0.465312	0.6441
C	0.071104	0.103636	0.686100	0.4964
R-squared	0.005129	Mean dependent var	0.104671	
Adjusted R-squared	-0.018559	S.D. dependent var	0.489052	
S.E. of regression	0.493570	Akaike info criterion	1.470084	
Sum squared resid	10.23166	Schwarz criterion	1.551183	
Log likelihood	-30.34184	Hannan-Quinn criter.	1.500159	
F-statistic	0.216516	Durbin-Watson stat	2.002909	
Prob(F-statistic)	0.644112			

الجدول (2) أوضحت النتائج أن السلسلة الزمنية غير مستقرة في مستوىها الأصلي وذلك من خلال مقارنة قيمتي ديكري وفلر المعنوية (0.9835) أكبر من القيم المحسوبة الثلاثة (10% ، 5% ، 1%) ، وكذلك أن المتوسط والتباين يتغيران مع الزمن.

### Differenced P



الشكل (2) يوضح شكل السلسلة بعد اخذ الفرق الاول لاختبار الاستقرار.

الشكل (2) يوضح استقرارية السلسلة بعد اخذ الفرق الاول وتحوله الى شكل اتجاه عام افقي.

### الجدول (3) : يوضح الارتباط والارتباط الذاتي الجزئي بعد الفرق الأول.

Date: 08/27/25 Time: 20:36

Sample (adjusted): 1981 2024

Included observations: 44 after adjustments

Autocorrelation	Partial Correlation	AC	PAC	Q-Stat	Prob
		1	0.034	0.034	0.0545
		2	-0.057	-0.058	0.2115
		3	0.006	0.010	0.2134
		4	-0.040	-0.044	0.2930
		5	-0.004	-0.000	0.2941
		6	0.004	-0.001	0.2948
		7	0.007	0.008	0.2978
		8	-0.026	-0.029	0.3369
		9	-0.011	-0.008	0.3437
		10	-0.016	-0.019	0.3586
		11	-0.017	-0.015	0.3754
		12	-0.023	-0.026	0.4078
		13	-0.011	-0.012	0.4160
		14	-0.040	-0.043	0.5218
		15	-0.052	-0.052	0.7137
		16	0.009	0.005	0.7195
		17	-0.042	-0.050	0.8512
		18	-0.001	-0.001	0.8512
		19	0.152	0.142	2.7140
		20	0.015	0.004	2.7334

الجدول (3) للارتباط الذاتي والارتباط الذاتي الجزئي يوضح استقرار السلسلة بعد الفرق الأول ووقوع كل قيم الابطاءات داخل حدود الضبط ، كما تضاءلت الارتباطات وأصبحت أكثر ملاءمة للنمذجة، مما يدعم اعتماد نموذج من نوع ARIMA (p,d,q).

#### الجدول (4) يوضح اختبار ديكى - فلر بعد الفرق الأول.

Null Hypothesis: D(P) has a unit root

Exogenous: Constant

Lag Length: 0 (Automatic - based on SIC, maxlag=9)

	t-Statistic	Prob.*
<u>Augmented Dickey-Fuller test statistic</u>	-6.192197	0.0000
Test critical values:		
1% level	-3.592462	
5% level	-2.931404	
10% level	-2.603944	

\*MacKinnon (1996) one-sided p-values.

من خلال الجدول (4) أصبحت السلسلة مستقرة بعد الفرق الاول وذلك من خلال القيمة المعنوية (0.000) لديکي وفلر والتي أصبحت اقل من القيم المحسوبة الثلاثة (10%，5%，1%) ، أي تحقق شرط الملاءمة لتقدير نماذج ARIMA .

#### الجدول (5) يوضح تقدير المعادلة بطريقة المربعات الصغرى.

Dependent Variable: P

Method: Least Squares

Date: 08/27/25 Time: 20:51

Sample (adjusted): 1980 2023

Included observations: 44 after adjustments

Variable	Coefficient	Std. Error	t-Statistic	Prob.
T	0.064685	0.008896	7.271160	0.0000
C(1)	-0.388694	0.229840	-1.691154	0.0982
R-squared	0.557288	Mean dependent var		1.066716
Adjusted R-squared	0.546747	S.D. dependent var		1.113025
S.E. of regression	0.749334	Akaike info criterion		2.305124
Sum squared resid	23.58304	Schwarz criterion		2.386224
Log likelihood	-48.71274	Hannan-Quinn criter.		2.335200
Durbin-Watson stat	0.438969			

#### معاملات المعادلة المقدرة:

Substituted Coefficients:

=====

$$P = 0.0646848726568*T - 0.388693930233*0.0646848726568$$

الجدول (5) يوضح تقدير المعادلة والتي اثبتت معنوية المعالم فيها والعلاقة الارتباطية المتوسطة بين سعر الصرف والزمن وحوالي 50% من التغير الذي يطرأ على سعر الصرف سببه عوامل اخرى غير الزمن .

## الجدول (6) اختبار النموذج (تجانس التباين بطريقة ARCH)

Heteroskedasticity Test: ARCH

F-statistic	125.7604	Prob. F(1,41)	0.0000
Obs*R-squared	32.42794	Prob. Chi-Square(1)	0.0000

Test Equation:  
Dependent Variable: RESID^2  
Method: Least Squares  
Date: 08/27/25 Time: 20:55  
Sample (adjusted): 1981 2023  
Included observations: 43 after adjustments

Variable	Coefficient	Std. Error	t-Statistic	Prob.
C	0.102017	0.113970	0.895120	0.3759
RESID^2(-1)	1.036141	0.092395	11.21429	0.0000
R-squared	0.754138	Mean dependent var	0.539480	
Adjusted R-squared	0.748142	S.D. dependent var	1.399232	
S.E. of regression	0.702211	Akaike info criterion	2.176231	
Sum squared resid	20.21714	Schwarz criterion	2.258147	
Log likelihood	-44.78897	Hannan-Quinn criter.	2.206439	
F-statistic	125.7604	Durbin-Watson stat	1.752816	
Prob(F-statistic)	0.000000			

تساوي (0.000) وهي أقل من مستوى المعنوية Obs R-Squared من بيانات الجدول (6) نلاحظ ان قيمة 5% مما يترب رفض الفرضية .

تقدير النماذج المختارة : تم اختبار عدة نماذج بعد اخذ الفرق الاول لاستقرار السلسلة على النحو التالي:

- نموذج ARIMA(1,1,1)
- نموذج ARIMA(1,1,2)
- نموذج ARIMA(2,1,1)
- نموذج ARIMA(2,1,2)

لكل نموذج تم تقدير معاملات الانحدار الذاتي (AR) والمتوسطات المتحركة(MA) وأظهرت النتائج أن جميع النماذج لها معاملات معنوية لكن بدرجات مختلفة من الملاءمة كما موضح في الجداول أدناه.

## الجدول (7) يوضح تقدير نموذج ARIMA(1,1,1)

Dependent Variable: P  
Method: ARMA Maximum Likelihood (OPG - BHHH)  
Date: 08/27/25 Time: 21:03  
Sample: 1980 2024  
Included observations: 45  
Convergence achieved after 23 iterations  
Coefficient covariance computed using outer product of gradients

Variable	Coefficient	Std. Error	t-Statistic	Prob.
T	0.070528	0.048120	1.465673	0.1504
AR(1)	0.842175	0.303715	2.772912	0.0083
MA(1)	0.126294	1.175599	0.107429	0.9150
SIGMASQ	0.219055	0.054179	4.043146	0.0002
R-squared	0.854296	Mean dependent var	1.151951	
Adjusted R-squared	0.843635	S.D. dependent var	1.239999	
S.E. of regression	0.490333	Akaike info criterion	1.529524	
Sum squared resid	9.857477	Schwarz criterion	1.690116	
Log likelihood	-30.41429	Hannan-Quinn criter.	1.589391	
Durbin-Watson stat	1.945019			
Inverted AR Roots	.84			
Inverted MA Roots	-.13			

## معالم المعادلة المقدرة :

Substituted Coefficients:

$$P = 0.070528218789*T +$$

[AR(1)=0.842175174108,MA(1)=0.126293773506,UNCOND,ESTSMPL="1980 2024"]

### الجدول (8) يوضح تدبير نموذج ARIMA(1,1,2)

Dependent Variable: P

Method: ARMA Maximum Likelihood (OPG - BHHH)

Date: 08/27/25 Time: 21:08

Sample: 1980 2024

Included observations: 45

Convergence achieved after 26 iterations

Coefficient covariance computed using outer product of gradients

Variable	Coefficient	Std. Error	t-Statistic	Prob.
T	0.074290	0.052309	1.420228	0.1631
AR(1)	0.879712	0.200750	4.382132	0.0001
MA(2)	0.006214	0.944904	0.006576	0.9948
SIGMASQ	0.221374	0.053642	4.126837	0.0002
R-squared	0.852754	Mean dependent var		1.151951
Adjusted R-squared	0.841980	S.D. dependent var		1.239999
S.E. of regression	0.492921	Akaike info criterion		1.541005
Sum squared resid	9.961812	Schwarz criterion		1.701597
Log likelihood	-30.67262	Hannan-Quinn criter.		1.600872
Durbin-Watson stat	1.772745			
Inverted AR Roots	.88			
Inverted MA Roots	-.00+.08i	-.00-.08i		

## معالم النموذج المقدر :

Substituted Coefficients:

$$P = 0.0742900903997*T +$$

[AR(1)=0.879712266143,MA(2)=0.00621373666323,UNCOND,ESTSMPL="1980 2024"]

### الجدول (9) يوضح تقيير نموذج ARIMA(2,1,1)

Dependent Variable: P  
 Method: ARMA Maximum Likelihood (OPG - BHHH)  
 Date: 08/27/25 Time: 21:09  
 Sample: 1980 2024  
 Included observations: 45  
 Convergence achieved after 20 iterations  
 Coefficient covariance computed using outer product of gradients

Variable	Coefficient	Std. Error	t-Statistic	Prob.
T	0.071462	0.052534	1.360299	0.1812
AR(2)	0.746803	0.339638	2.198821	0.0336
MA(1)	0.983282	0.710417	1.384090	0.1738
SIGMASQ	0.212958	0.111672	1.906989	0.0635
R-squared	0.858352	Mean dependent var	1.151951	
Adjusted R-squared	0.847987	S.D. dependent var	1.239999	
S.E. of regression	0.483461	Akaike info criterion	1.520643	
Sum squared resid	9.583103	Schwarz criterion	1.681236	
Log likelihood	-30.214448	Hannan-Quinn criter.	1.580511	
Durbin-Watson stat	1.917978			
Inverted AR Roots	.86		-.86	
Inverted MA Roots	-.98			

معالم النموذج المقدر:

Substituted Coefficients:

$$P = 0.0714623959396*T +$$

[AR(2)=0.746803114435,MA(1)=0.983282001579,UNCOND,ESTSMPL="1980 2024"]

### الجدول (10) يوضح تقيير نموذج ARIMA(2,1,2)

Dependent Variable: P  
 Method: ARMA Maximum Likelihood (OPG - BHHH)  
 Date: 08/27/25 Time: 21:11  
 Sample: 1980 2024  
 Included observations: 45  
 Convergence achieved after 20 iterations  
 Coefficient covariance computed using outer product of gradients

Variable	Coefficient	Std. Error	t-Statistic	Prob.
T	0.057011	0.021144	2.696344	0.0101
AR(2)	0.165464	1.181226	0.140078	0.8893
MA(2)	0.644280	1.033488	0.623403	0.5365
SIGMASQ	0.410105	0.122894	3.337058	0.0018
R-squared	0.727220	Mean dependent var	1.151951	
Adjusted R-squared	0.707261	S.D. dependent var	1.239999	
S.E. of regression	0.670906	Akaike info criterion	2.158386	
Sum squared resid	18.45472	Schwarz criterion	2.318978	
Log likelihood	-44.56369	Hannan-Quinn criter.	2.218253	
Durbin-Watson stat	0.946075			
Inverted AR Roots	.41		-.41	
Inverted MA Roots	-.00+.80i		-.00-.80i	

معالم النموذج المقدر:

Substituted Coefficients:

$$P = 0.0570111274696*T +$$

[AR(2)=0.165463566982,MA(2)=0.644279722259,UNCOND,ESTSMPL="1980 2024"]

**جدول (11)** يوضح كيفية اختيار النموذج الامثل من خلال استخدام معايير:

- Akaike Info Criterion (AIC) (معيار أكياكي)
- Schwarz Criterion (SC) (معيار شاورز)
- مجموع مربعات الأخطاء SSE

النماذج	Akaike Info Criterion	Schwarz Criterion	مجموع مربعات الأخطاء SSE
ARIMA(1,1,1)	1.52	1.69	0.49
ARIMA(1,1,2)	1.54	1.70	0.49
ARIMA(2,1,1)	1.52	1.68	0.48
ARIMA(2,1,2)	2.16	2.31	0.68

النتائج أوضحت أن أفضل نموذج هو ARIMA(2,1,1) لأنه يحقق:  
أقل قيمة لمعيار AIC = 1.52 ، وأقل قيمة لمعيار SC = 1.68 ، أقل مجموع لمربعات الأخطاء SSE = 0.48 مما يجعله النموذج الأنسب للتنبؤ .

#### تقدير النموذج الامثل وعملية التنبؤ به :

Substituted Coefficients:

$$P = 0.0714623959396*T + [AR(2)=0.746803114435, MA(1)=0.983282001579, UNCOND, ESTSMPL="1980 2024"]$$

**جدول (12)** يوضح التنبؤ بسعر الصرف للعام 2030 بعد اختيار النموذج الامثل :  
باستخدام نموذج ARIMA(2,1,1) تم التنبؤ للفترة 2025–2030:

السنة	السعر المتوقع
2025	5.6156
2026	5.8802
2027	5.6980
2028	5.7954
2029	6.3204
2030	6.7433

#### النتائج :

1. أظهرت سلسلة سعر الصرف اتجاهًا تصاعدياً واضحاً على المدى الطويل، مما يشير إلى ارتفاع مستمر في قيمة الدولار مقابل الدينار الليبي. هذا يعكس وجود ضغوط تصخمية وضعفاً في القوة الشرائية للدينار، ويؤكد على عدم استقرار السلسلة في مستواها الأصلي.
2. أكد اختبار ديكي-فلر أن السلسلة غير مستقرة في مستواها الأصلي (قيمة P-value = 0.9835 < 0.05)، حيث يتغير المتوسط والتباين مع الزمن.
3. أخذ الفرق الأول، أصبحت السلسلة مستقرة، كما أكد ذلك اختبار ديكي-فلر (قيمة P-value = 0.000 < 0.05) وتحول شكل السلسلة إلى اتجاه عام أفقى.
4. بناءً على معايير الاختيار 'AIC' و 'SC' و 'SSE'، تبين أن النموذج الامثل لوصف سلوك السلسلة والتنبؤ به هو نموذج ARIMA(2,1,1)، حيث حقق أقل قيم للمعايير المذكورة. ( AIC = 1.52, SC = 1.68, SSE = 0.48 )

5. معاملات النموذج المقدر كانت معنوية، مما يدل على ملاءمته لوصف البيانات. ومع ذلك، أظهر اختبار ARCH وجود عدم تجانس في التباين (heteroscedasticity) في بوافي النموذج (P-value = 0.000)، مما يشير إلى تقلب التباين مع الزمن.
6. باستخدام النموذج الأمثل ARIMA(2,1,1)، تم التنبؤ بسعر الصرف حتى عام 2030، حيث من المتوقع أن يستمر الارتفاع ليصل إلى حوالي 6.74 دينار ليبي للدولار الواحد في عام 2030.

#### **الوصيات :**

- 1- نظراً للاتجاه التصاعدي المستمر والمتوقع لسعر الصرف، يجب على السلطات النقدية في ليبيا مراقبة سوق الصرف بشكل دقيق ومستمر واتخاذ إجراءات سياسية نقدية ومالية صارمة لاحتواء الضغوط التضخمية ومنع التدهور الحاد في قيمة الدينار.
- 2- يجب عدم الاعتماد على النماذج التنبؤية فقط، بل معالجة الأسباب الجذرية لضعف الدينار، والتي قد تشمل: عدم استقرار السياسات، الاعتماد على مصدر دخل وحيد (النفط)، وضعف الإنتاج المحلي.
- 3- نظراً لوجود مشكلة عدم تجانس التباين (ARCH effect)، يُوصى باستخدام نماذج أكثر تطوراً مثل (GARCH) لنموذج وتوقع تقليدية ومخاطر سعر الصرف، مما يوفر رؤية أكثر دقة للمخاطر المستقبلية.
- 4- يجب تحديث البيانات وإعادة تقييم النموذج دوريًا (سنويًا على الأقل) لدمج أحدث المعلومات وضمان استمرارية دقة التنبؤات، خاصة في بيئة اقتصادية متقلبة مثل الاقتصاد الليبي.
- 5- على المدى الطويل يجب العمل على تنويع الاقتصاد الوطني وتقليل الاعتماد على الاستيراد لخفض الحاجة على العملات الأجنبية، مما يساعد على توازن سعر الصرف وقلة الطلب عليه.
- 6- العمل على تعزيز الاحتياطييات الأجنبية للبلاد لتكون قادرة على التدخل في السوق المالية عند الحاجة لامتصاص الصدمات ومنع التقلبات الحادة.
- 7- تشجيع الشفافية في سياسة سعر الصرف ونشر البيانات الاقتصادية بشكل منظم ودقيق لتمكين المحللين والجهات المعنية من إجراء تقييمات أكثر دقة.

#### **المراجع العربية :**

- 1- أحمد طنطاوي (1995) : الاقتصاد الدولي ، الدار العلمية الدولية للنشر والتوزيع عمان -الأردن .
- 2- أحمد عبدالموجود محمد عبداللطيف (2017) : تقلبات سعر الصرف وأثره على اقتصاديات الدول العربية المصدر للبترونول (اوابك) دار التعليم الجامعي للطباعة والنشر والتوزيع - الاسكندرية .
- 3- أسامة الخولي ، مجدي شهاب (1997) : مبادئ النقد والبنوك ، دار التعليم الجامعي للطباعة والنشر والتوزيع - الاسكندرية .
- 4- إسماعيل عبدالرحمن ، حربي موسى عريقات (1999) : مفاهيم علم الاقتصاد الكلي ، عمان -الأردن.
- 5- باري سيجل ، النقود والبنوك (1987) : من وجهة نظر النقدين ، دار المريخ للنشر - الرياض .
- 6- بكري كامل عكاشه (2001) : الاقتصاد الدولي والتجارة الخارجية والتمويل ، دار التعليم الجامعي للطباعة والنشر والتوزيع - الاسكندرية .
- 7- خالد حسن البيلي ، الاقتصاد الدولي ، مطبعة جامعة السودان للعلوم والتكنولوجيا، الخرطوم
- 8- محب خلة توفيق (2015) : الاقتصاد المصري والنقد دراسة تحليلية للمؤسسات والنظريات ، دار الفكر الجامعي - الاسكندرية .
- 9- مصطفى محمد عبدالله (2016) : الآثار المتوقعة على انخفاض الجنيه السوداني مقابل الدولار ، دار المريخ للنشر - الرياض .
- 10- وسام مالك (2001) : الظواهر النقدية على المستوى الدولي ، دار المنهل اللبناني - بيروت.
- 11- زين العابدين البشير (2016) تحليل السلسل الزمنية - دار الجنان للنشر والتوزيع - عمان .

**الكتب المترجمة :**

- 1- الفريد وكوي fas، اليمندر ونر (2002) : تجربة المكسيك مع نظام سعر الصرف المرن ، صندوق النقد العربي ،نظم وسياسات سعر الصرف الاجنبي - ابوظبي .
- 2- جورج كوبر (2010) : الازمة المالية وخرافة السوق الكفء ، ترجمة محمد عبدالجود نهضة مصر للطباعة والنشر والتوزيع - القاهرة

**المراجع الاجنبية :**

- 1-Box,G and jenkins ,G(1970; Time Series Analysis;Forcasting and control;san Francisco;Holden-day
- 2-Schwarz,E (1978) estimation the dimension of amodel ..Annals of Statistics2 : pp416-464.
- 3- Euders W;Applied Econometricstimeseries(2004) JohnWiley & sons
- 4-pHILLIPS;P.C.B and Perron P.(1988) Testing for unit root in time series ; Biometrika.
- 5-JOHN, D. M. (2009). *Analysis of Time Series and forecast.* .
- 6-Engle, R. F. (1982). Autoregressive Conditional Heteroscedasticity with Estimates of the Variance of United Kingdom Inflation. *Econometrica*.

---

**Compliance with ethical standards**

*Disclosure of conflict of interest*

The author(s) declare that they have no conflict of interest.

---

**Disclaimer/Publisher's Note:** The statements, opinions, and data contained in all publications are solely those of the individual author(s) and contributor(s) and not of **AJASHSS** and/or the editor(s). **AJASHSS** and/or the editor(s) disclaim responsibility for any injury to people or property resulting from any ideas, methods, instructions, or products referred to in the content.